

Relatório do Projeto de CG

João Pimentel (a80874) Rodolfo Silva (a81716)
Pedro Gonçalves (a82313)

Abril 2019

Universidade do Minho
Mestrado Integrado em Engenharia Informática
Computação Gráfica
Grupo 25
3^a Fase
Curvas, Superfícies Cúbicas e VBOs

Conteúdo

1	Introdução	4
2	Estruturas de Dados e Classes	5
3	VBOs	6
4	Patches de Bezier	7
5	Catmull-Rom	9
5.1	Curvas	9
5.2	Rotate	10
5.3	Translate	10
6	Sistema Solar Dinâmico	11
7	Conclusões e Trabalho Futuro	13

Lista de Figuras

1	Classe <i>figura</i>	5
2	Escrita em ficheiro dos pontos de Bezier	8
3	<i>Teapot</i>	8
4	Pontos de Controlo da Curva de Catmull-Rom	9
5	Sistema Solar	11
6	Sistema Solar: Perspetiva Aproximada	12
7	Sistema Solar: Perspetiva Lateral	12

1 Introdução

O presente relatório consiste na descrição da terceira fase da implementação de um mini cenário gráfico 3D que representa um modelo dinâmico do sistema solar.

Nesta etapa, existem três grandes objetivos: o desenho dos modelos com base em *VBOs* (Vertex Buffer Objects), permitir que um modelo seja gerado através de um *patch* de Bezier e animar o, até então, sistema solar estático.

Gerar um modelo através de *patch* prende-se com a utilização de um conjunto de fórmulas, levando à construção de um *teapot*, no caso do projeto. Já a animação do sistema solar é baseada na utilização de curvas de Catmull-Rom e rotações baseadas em tempo.

Por fim, é pedido que seja, ainda, introduzido um cometa ao sistema, sendo este retratado por um *teapot*.

2 Estruturas de Dados e Classes

As alterações no formato dos ficheiros *XML* levaram a que fossem armazenados novos tipos de dados, nomeadamente tempos de translação e/ou rotação, bem como possíveis pontos de controlo, utilizados para retratar a trajetória de uma figura ao longo do tempo. Esta informação adicional levou a que as classes e estruturas definidas para as fases anteriores fossem aperfeiçoadas de modo a conseguir retratar o pedido.

Assim, a classe *figura* passou a possuir mais atributos, nomeadamente, um vetor que possui os pontos de controlo da trajetória (*vector<TPS> translates*), o tempo de translação (*trTime*) e o tempo de rotação (*rTime*), como se vê na Figura 1.

Como não é obrigatório que uma figura possua transformações com base em tempo, foi definido que o valor temporal associado a estes casos seria zero e o vetor de pontos ficaria vazio, nestas situações.

```
class figura {  
private:  
    int filhos;  
  
    int total;  
  
    float trTime;  
    std::vector<TPS> translates;  
    float trX;  
    float trY;  
    float trZ;  
    int T_order;  
  
    float rTime;  
    float rA;  
    float rX;  
    float rY;  
    float rZ;  
    int R_order;  
  
    float sX;  
    float sY;  
    float sZ;  
    int S_order;  
};
```

Figura 1 - Classe *figura*.

3 VBOs

Os *VBOs* oferecem um aumento na performance em comparação com o modo de *rendering* imediato, devido ao facto de os dados serem armazenados na memória gráfica em vez de na memória do sistema, sendo diretamente renderizados pela *GPU*.

Extraída a informação relativa a uma figura, neste caso os seus vértices, os quais provêm de um ficheiro com extensão *3d*, esta é utilizada para inicializar e preencher o *buffer* relativo à figura em questão. Note-se que foi implementado um *VBO* por figura, pois estas são independentes umas das outras, na sua maioria.

Logo após a leitura do ficheiro com os pontos, estes ficam guardados num vetor. Este último é percorrido, inserindo os vértices num *array* que é utilizado no *VBO* da figura em questão. Este processo ocorre na função de *load* do objeto, sendo que, após a execução de carregamento de todas as figuras, o array de *VBOs* está finalizado e pronto a desenhar.

4 Patches de Bezier

De modo a conseguir desenhar um *teapot* a partir de um *patch* de Bezier, teve que ser definido um mecanismo que, recebendo um ficheiro, e um nível de tesselação, gerasse um ficheiro de pontos.

O primeiro passo consistiu em extrair a informação presente no ficheiro *patch*, tendo sido desenvolvido um *parser* que guarda os pontos e respetivos *patches* na forma de um *array* de índices. Ou seja, além de um *array* com todos os pontos existentes no ficheiro e o número total destes, existe, ainda, uma matriz de índices relativos aos *patches* a desenhar. Esta matriz é declarada como *indices[n][]*, sendo que *n* é o número de patches indicados na primeira linha do ficheiro.

Em seguida, foram guardados os pontos de controlo num *array* de pontos (estrutura que possui coordenadas *x, y* e *z*).

Finalizado o *parse* do ficheiro, começa o processo de gerar a figura em si. Tendo em conta as equações 1 e 2, o processo torna-se bastante simples, tendo sido apenas necessário codificar as mesmas.

$$B(u, v) = \begin{bmatrix} u^3 & u^2 & u & 1 \end{bmatrix} M \begin{bmatrix} P_{00} & P_{01} & P_{02} & P_{03} \\ P_{10} & P_{11} & P_{12} & P_{13} \\ P_{20} & P_{21} & P_{22} & P_{23} \\ P_{30} & P_{31} & P_{32} & P_{33} \end{bmatrix} M^T \begin{bmatrix} v^3 \\ v^2 \\ v \\ 1 \end{bmatrix} \quad (1)$$

$$M = \begin{bmatrix} -1.0f & 3.0 & -3.0 & 1.0 \\ 3.0 & -6.0 & 3.0 & 0.0 \\ -3.0 & 3.0 & 0.0 & 0.0 \\ 1.0 & 0.0 & 0.0 & 0.0 \end{bmatrix} \quad (2)$$

Assim, chamando, quando necessário, a função que devolve um ponto de Bezier, o processo de formação da figura torna-se algo iterativo. De notar que, quanto mais elevado o nível de tesselação (variável *divs*), maior será o detalhe da figura a ser desenhada, como se pode verificar pela Figura 2.

```

for (int i = 0; i < patches; i++) {
    for (int j = 0; j < 16; j++) {
        pv[j] = cpoints[indexes[i][j]];
    }
    for (int u = 0; u < divs; u++) {
        float p1[3];
        float p2[3];
        float p3[3];
        float p4[3];
        for (int v = 0; v < divs; v++) {
            get_ponto_bezier(u / (float)divs, v / (float)divs, pv, p1);
            get_ponto_bezier((u + 1) / (float)divs, v / (float)divs, pv, p2);
            get_ponto_bezier(u / (float)divs, (v + 1) / (float)divs, pv, p3);
            get_ponto_bezier((u + 1) / (float)divs, (v + 1) / (float)divs, pv, p4);

            pontos << p1[0] << ' ' << p1[1] << ' ' << p1[2] << '\n';
            pontos << p3[0] << ' ' << p3[1] << ' ' << p3[2] << '\n';
            pontos << p4[0] << ' ' << p4[1] << ' ' << p4[2] << '\n';

            pontos << p2[0] << ' ' << p2[1] << ' ' << p2[2] << '\n';
            pontos << p1[0] << ' ' << p1[1] << ' ' << p1[2] << '\n';
            pontos << p4[0] << ' ' << p4[1] << ' ' << p4[2] << '\n';

            linhas += 6;
        }
    }
}

```

Figura 2 - Escrita em ficheiro dos pontos de Bezier.

Dito isto, o resultado obtido para um nível de tesselação igual a 10, a partir do ficheiro fornecido pelo docente [1], está visível na Figura 3.

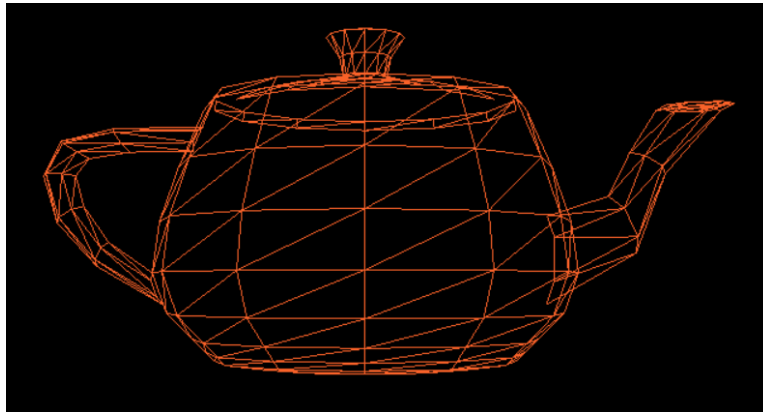


Figura 3 - *Teapot*.

5 Catmull-Rom

5.1 Curvas

Partindo da codificação das fórmulas fornecidas pela docente [1], o processo de codificação destas curvas tornou-se mais simples, sendo que a base deste processo reside na equação 3.

$$\begin{bmatrix} t^3 & t^2 & t & 1 \end{bmatrix} \begin{bmatrix} -0.5 & 1.5 & -1.5 & 0.5 \\ 1 & -2.5 & 2 & -0.5 \\ -0.5 & 0 & 0.5 & 0 \\ 0 & 1 & 0 & 0 \end{bmatrix} = \begin{bmatrix} -0.5t^3 + t^2 - 0.5t \\ 1.5t^3 - 2.5t^2 + 1 \\ -1.5t^3 + 2t^2 + 0.5t \\ 0.5t^3 - 0.5t^2 \end{bmatrix}^T \quad (3)$$

Assim, de modo a desenhar as trajetórias dos objetos, nomeadamente dos planetas, inicialmente, foram armazenados os pontos presentes no ficheiro XML. Através da utilização de um ciclo e da função *getGlobalCatmullRomPoint*, é possível obter, não só as coordenadas do próximo ponto, mas também definir uma trajetória baseada nestes. Neste caso, optou-se por definir que uma curva teria 100 pontos, sendo este o valor do número de iterações do ciclo. Assim, aplicando um método que ligue estes pontos, a trajetória fica desenhada como pretendido.

Note-se, ainda, que, de modo a obter uma trajetória circular, foram utilizados 12 pontos de controlo por cada trajeto, baseados na Figura 4.

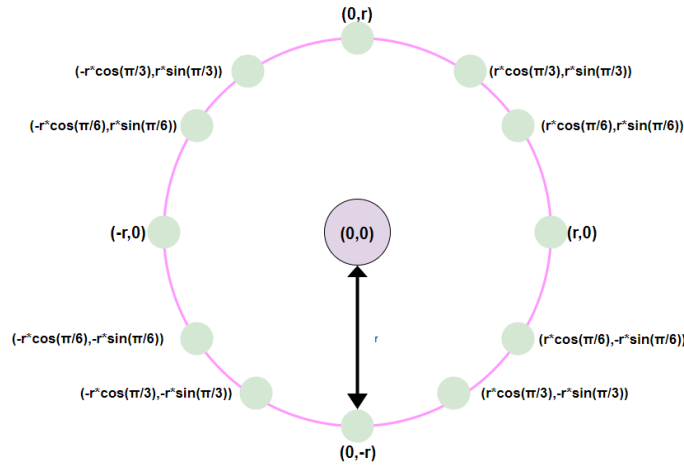


Figura 4 - Pontos de Controlo da Curva de Catmull-Rom.

5.2 Rotate

A variável temporal presente no ficheiro XML indica o tempo que a figura deve demorar a fazer uma rotação de 360° em torno de si mesma. Assim, a cada momento que passe o seu ângulo irá incrementar pela razão $360/(time * 1000)$, sendo *time* o valor lido no ficheiro (multiplicado por 1000 para ficar em milissegundos). Caso se aumente ao valor do tempo, a rotação ficará mais lenta e vice-versa.

5.3 Translate

Seguindo um pensamento semelhante ao utilizado para gerar as linhas das curvas, de modo a colocar uma figura num determinado ponto da trajetória, num dado momento, utilizou-se a função *getGlobalCatmullRomPoint*. Através desta foi possível obter o ponto na curva a efetuar a deslocação. Assim, a cada execução da função *renderScene*, o tempo decorrido até ao momento irá aumentar, levando a que o objeto se desloque ao longo da sua trajetória.

6 Sistema Solar Dinâmico

Tendo em conta que nesta fase o sistema solar teria que estar animado, o ficheiro XML teve que ver as suas transformações geométricas a depender do tempo. Este foi implementado de forma a ser próximo da realidade, possuindo pequenas alterações, de modo a permitir uma maior facilidade na visualização do projeto em execução. O mesmo ocorreu com as distâncias entre planetas e dimensões dos mesmos.

Houve, ainda, a preocupação de adicionar um cometa, representado pelo *teapot* obtido através do *patch* de Bezier, com uma órbita elíptica, como se vê nas Figuras 5 a 7.

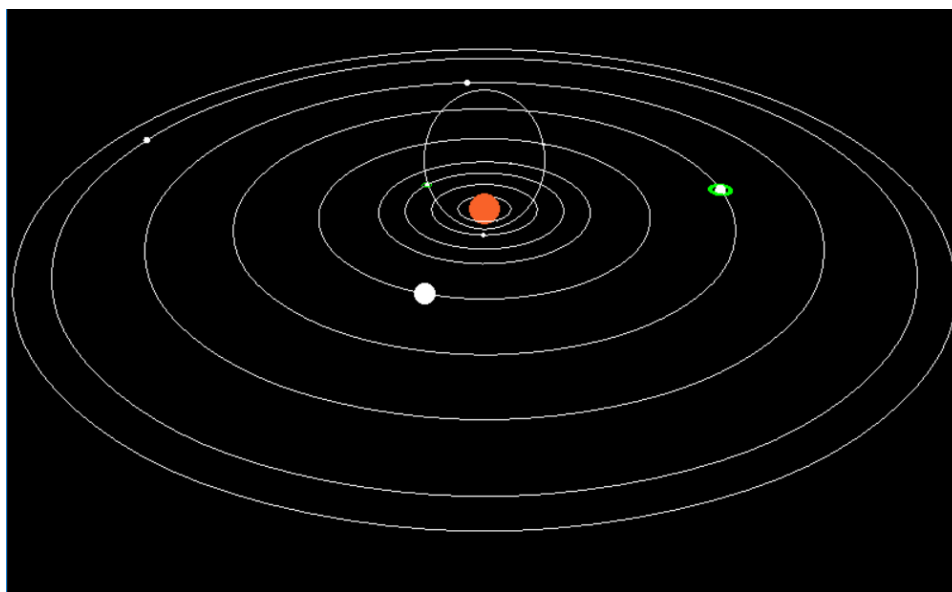


Figura 5 - Sistema Solar.

7 Conclusões e Trabalho Futuro

Durante a conceção desta fase, o grupo deparou-se com algumas dificuldades, especialmente no que toca à elaboração de uma figura a partir de um *patch* de Bezier. Tal deveu-se ao facto de ser a primeira interação com este tipo de ficheiros, levando a que tivesse de ser efetuada uma pesquisa prévia à sua codificação. Apesar disto, após a pesquisa, o algoritmo parece bastante capaz de resolver os exemplos que lhe são passados, mostrando-se uma execução com sucesso.

No que toca às curvas de Catmull-Rom e aos *VBOs*, devido às interações desenvolvidas no decorrer das aulas, estas etapas mostraram-se mais simples, sendo mais rápida a sua implementação no projeto.

Assim, é credível que o resultado obtido cumpriu os requisitos apresentados no projeto, sendo possível desenvolver um modelo dinâmico do Sistema Solar, incluindo uma representação de um cometa gerada a partir de um *patch*. Dito isto, é esperado que a fase final deste projeto permita obter um resultado mais realista e visivelmente agradável, com a inserção de texturas e iluminação.

Referências

- [1] António Ramires. *Curves and Surfaces: Notes for an Undergraduate Course in Computer Graphics*. University of Minho, 2019.